

帕瑞昔布对人胰腺癌细胞株BxPC-3、AsPC-1增殖凋亡的影响及其机制

李鹏, 刘江伟, 许永华, 朱淑萍, 郭飞, 董翔

李鹏, 新疆石河子大学医学院 新疆维吾尔自治区石河子市 832000

刘江伟, 郭飞, 中国人民解放军兰州军区乌鲁木齐总医院肝胆外科 新疆维吾尔自治区乌鲁木齐市 830000

许永华, 朱淑萍, 董翔, 中国人民解放军兰州军区乌鲁木齐总医院 新疆维吾尔自治区乌鲁木齐市 830000

李鹏, 在读硕士, 主要从事消化系统肿瘤的研究。
中国博士后基金资助项目, No. 20100481517

作者贡献分布: 李鹏与刘江伟对此文所作贡献均等; 此课题由李鹏与刘江伟设计; 研究过程由李鹏与刘江伟操作完成; 研究所用新试剂及分析工具由许永华与朱淑萍提供; 数据分析由李鹏、郭飞及董翔完成; 本论文写作由李鹏与刘江伟完成。

通讯作者: 刘江伟, 教授, 主任医师, 830000, 新疆维吾尔自治区乌鲁木齐市友好北路359号, 中国人民解放军兰州军区乌鲁木齐总医院肝胆外科. ljh273@sohu.com

收稿日期: 2011-11-26 修回日期: 2012-01-10
接受日期: 2012-03-10 在线出版日期: 2012-03-18

Parecoxib inhibits cell proliferation and induces apoptosis in human pancreatic cancer cell lines BxPC-3 and AsPC-1

Peng Li, Jiang-Wei Liu, Yong-Hua Xu, Shu-Ping Zhu, Fei Guo, Xiang Dong

Peng Li, Medical School of Shihezi University, Shihezi 832000, Xinjiang Uygur Autonomous Region, China

Jiang-Wei Liu, Fei Guo, Department of Hepatobiliary Surgery, Urumqi General Hospital of Lanzhou Military Region, Urumqi 830000, Xinjiang Uygur Autonomous Region, China

Yong-Hua Xu, Shu-Ping Zhu, Xiang Dong, Urumqi General Hospital of Lanzhou Military Region, Urumqi 830000, Xinjiang Uygur Autonomous Region, China

Supported by: the Chinese Postdoctoral Science Foundation, No. 20100481517

Correspondence to: Jiang-Wei Liu, Professor, Department of Hepatobiliary Surgery, Urumqi General Hospital of Lanzhou Military Region, Urumqi 830000, Xinjiang Uygur Autonomous Region, China. ljh273@sohu.com.

Received: 2011-11-26 Revised: 2012-01-10

Accepted: 2012-03-10 Published online: 2012-03-18

Abstract

AIM: To investigate the effect of parecoxib on cell proliferation and apoptosis in human pancreatic cancer cell lines BxPC-3 and AsPC-1 and to explore possible mechanisms involved.

METHODS: After BxPC-3 and AsPC-1 cells

were incubated with different concentrations of parecoxib, cell viability was measured by MTT assay to calculate the half maximal inhibitory concentration (IC50); cell apoptosis was evaluated by TUNEL assay; and the expression of COX-2 was detected RT-PCR.

■背景资料

胰腺癌已成为全球第4大死因, 5年生存率仅1%-4%。胰腺癌由于诊断困难、预后差、发生率高, 已成为一个世界性的健康问题。

RESULTS: Cell viability was apparently inhibited by parecoxib in both cell types, and the inhibitory effect was time- and dose-dependent. The IC50 values in the two cell lines were $400.98 \mu\text{mol/L} \pm 10.78 \mu\text{mol/L}$ and $256.3 \mu\text{mol/L} \pm 2.98 \mu\text{mol/L}$, respectively. Treatment with parecoxib increased apoptosis rate and down-regulated COX-2 expression in both cell lines.

CONCLUSION: Parecoxib potently inhibits cell proliferation and induces apoptosis in human pancreatic cancer cell lines BxPC-3 and AsPC-1 possibly by suppressing the expression of COX-2.

Key Words: Pancreatic cancer; Parecoxib; Proliferation; Apoptosis; COX-2

Li P, Liu JW, Xu YH, Zhu SP, Guo F, Dong X. Parecoxib inhibits cell proliferation and induces apoptosis in human pancreatic cancer cell lines BxPC-3 and AsPC-1. Shijie Huaren Xiaohua Zazhi 2012; 20(8): 675-679

摘要

目的: 研究帕瑞昔布(parecoxib, PCB)对人胰腺癌细胞株BxPC-3和AsPC-1的增殖、凋亡及其可能的分子机制。

方法: BxPC-3、AsPC-1细胞用不同浓度PCB的培养液孵育后, 利用MTT法测定细胞活性, 计算IC50值, TUNEL法检测处理后细胞的凋亡情况, RT-PCR验证相关蛋白的变化表达。

结果: PCB对两种细胞生长呈时间和计量依赖性抑制; PCB处理后BxPC-3、AsPC-1两种细胞IC50值为: $400.98 \mu\text{mol/L} \pm 10.78 \mu\text{mol/L}$ 、 $256.3 \mu\text{mol/L} \pm 2.98 \mu\text{mol/L}$; TUNEL法检测证明凋亡率增加; RT-PCR显示COX-2表达明显降低。

■同行评议者

谭晓冬, 教授, 中国医科大学附属盛京医院

■研发前沿

药物治疗仍然是胰腺癌治疗的基础,而COX-2抑制剂的研究已经进入白热化的阶段,随着新型COX-2抑制剂的上市,COX-2抑制剂应用于肿瘤领域成为研究的重要课题。

结论: PCB可以抑制胰腺癌细胞增殖,并诱导其凋亡生长,其可能机制是通过抑制COX-2表达来实现的。

关键词: 胰腺癌; 帕瑞昔布; 增殖; 凋亡; COX-2

李鹏,刘江伟,许永华,朱淑萍,郭飞,董翔. 帕瑞昔布对人胰腺癌细胞株BxPC-3、AsPC-1增殖凋亡的影响及其机制. 世界华人消化杂志 2012; 20(8): 675-679

<http://www.wjnet.com/1009-3079/20/675.asp>

0 引言

胰腺癌(pancreatic cancer, PC)是一种起源于胰腺导管上皮的恶性肿瘤,恶性程度高,侵袭和转移率高,早期诊断困难,进展期症状缺乏特异性,是消化系统治疗效果差的恶性肿瘤之一。胰腺癌已成为全球第4大死因^[1],5年生存率仅1%-4%^[2]。胰腺癌由于诊断困难、预后差、发生率高成为了一个世界性的健康问题^[3,4]。胰腺癌明确诊断时已经为晚期,还可能发生远处转移,因此手术切除已经不能延长大多数患者的生存时间。药物治疗是胰腺癌治疗的基础,尽管开展很多大规模的药物临床试验,但结果却令人沮丧。因此,寻找有效的口服药物成为治疗胰腺癌的必经之路。帕瑞昔布(parecoxib, PCB)是非甾体抗炎药的其中一个亚型,选择性COX-2抑制剂^[5]。非甾体抗炎药物抑制COX-1、COX-2,仅有COX-2抑制剂发挥止痛、抗炎、解热的功效。PCB是一种COX-2抑制剂的新药,广泛应用于术后镇痛。流行病学研究显示非甾体抗炎药能够降低结直肠癌的风险^[3,4]。非甾体抗炎药是花生四烯酸转化成前列腺素过程中的关键酶,COX有2种亚型:COX-1和COX-2,之前的报道显示胰腺癌中COX-2 mRNA和蛋白的表达增加,且COX-2高表达与肿瘤细胞凋亡相关^[5-9]。自美国FDA将塞来昔布(celecoxib, CCB)的适用范围扩大,用于治疗家族性腺瘤病,COX-2抑制剂的应用范围较之前更为广阔,也成为了众多学者研究的焦点所在。COX-2抑制剂显示了强大的解热镇痛作用。而在大多数的研究中,COX-2抑制剂也不负重望地发挥了抗肿瘤作用。PCB的上市为患者术后镇痛带来了福音,但其在肿瘤中的作用仍未见相关文献报道。为此,PCB能否像CCB那样发挥抗肿瘤的作用,其抗肿瘤的可能机制是我们研究的着眼点。

1 材料和方法

1.1 材料 PCB购自辉瑞制药; 高糖DMEM培养

基和胎牛血清购自Gibco公司; 四甲基偶氮唑盐(MTT)及二甲基亚砜(DMSO)购自Amersco; Trizol及琼脂糖购自Invitrogen; RT-PCR试剂盒、Marker购自TaKaRa; TUNEL试剂盒购自Promega; β-actin、COX-2引物由上海生工合成; 所用仪器包括C1000核酸扩增仪、酶标仪、电泳槽(Bio-Rad, 美国)。

1.2 方法

1.2.1 细胞系和细胞培养: 在含有50 mL/L CO₂ 37 °C 95%湿度培养箱中培养。培养液为含100 mL/L胎牛血清和双抗(100 U/mL青霉素和100 U/mL链霉素)的高糖DMEM培养基。当细胞融合90%时,用0.25%胰酶消化传代,对数生长期的细胞为实验对象。

1.2.2 PCB药液配置: PCB用高糖DMEM稀释为不同浓度,针式过滤后,4 °C保存。

1.2.3 MTT法检测药物对细胞抑制率: 细胞接种于96孔板中(5×10^3 /孔)。贴壁24 h后,分别加入含有不同浓度(0、10、40、160、320、640、1 000 μmol/L)PCB孵育,分别加入MTT,再孵育4 h,弃去孔内液体,加入二甲基亚砜,在酶标仪490 nm波长处检测各孔吸光度(A)值,抑制率 = (1-实验组A/对照组) × 100%。

1.2.4 TUNEL法检测细胞凋亡: 细胞接种于24孔板,贴壁后分别用不同浓度(0、10、40、160、320、640、1 000 μmol/L)PCB孵育。48 h后弃去孔内培养液,按照TUNEL试剂盒方法操作,DAB显色后镜下观察并照相。

1.2.5 RT-PCR法检测COX-2表达: 细胞接种于6孔板中,贴壁后分别用1/2 PCBIC50孵育48 h。收获细胞 1×10^6 , TRIzol法提取RNA后反转录为cDNA,反转录体系为: 5×PrimeScript Buffer 5 μL, PrimeScript Enzyme Mix I 1.25 μL, Oligo dT primer 1.25 μL, Random 6 mers 5 μL, RNA 500 ng, dd H₂O(免酶)补齐至25 μL。PCR反应体系: TaKaRa Ex Taq 0.125 μL, 10×Ex Taq Buffer 2.5 μL, MgCl₂ 0.5 μL, dNTP Mix 2 μL, cDNA 1 μL, Primer forward 1 μL, Primer reverse 1 μL, dd H₂O补齐至25 μL。COX-2引物(上游: 5'-TCCA-GATCACATTGATTGACAG-3'; 下游: 5'-TGT-GGGAGGATACATCTCTCC-3'); β-actin为内参(上游: 5'-GGACTTCGAGCAGGAGATGG-3', 下游: 5'-GCACCGTGTGGCGTAGAGGG-3')。PCR产物扩增条件为: 94 °C 5 min; 94 °C 30 s, 60.5 °C 30 s, 72 °C 1 min, 35个循环; 72 °C 5 min。COX-2扩增产物440 bp, β-actin产物322 bp。电泳后凝胶成像仪紫外成像,Quantity One软件行灰度扫描。

■相关报道

刘江伟等学者研究发现,COX-2在胰腺癌中的表达率为74.5%,认为COX-2可能在胰腺癌的发生、发展及肿瘤的浸润和转移中其重要作用,COX-2的过表达可能是反映胰腺癌预后的有用指标。

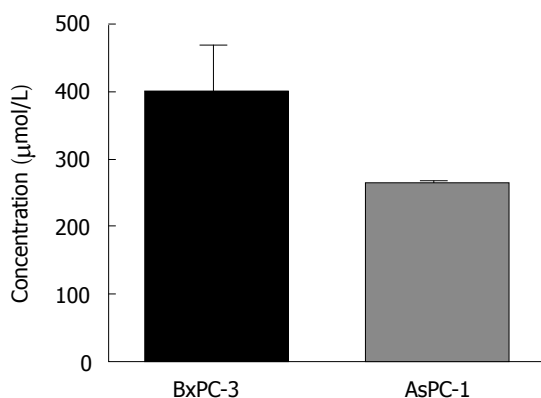


图1 帕瑞昔布对人胰腺癌细胞株IC50值.

表1 BxPC-3、AsPC-1 2种细胞RT-PCR灰度值比较

	实验组	对照组
BxPC-3细胞	0.161 ± 0.171 ^a	1.011 ± 0.774
AsPC-1细胞	0.171 ± 0.017 ^a	0.863 ± 0.036

^aP<0.05 vs 对照组.

统计学处理 所得数据采用SPSS17.0软件分析。计量资料以mean±SD表示，多个样本比较采用单因素方差分析，两样本均数采用t检验，以P<0.05为差异有统计学意义。

2 结果

2.1 PCB对细胞增殖的影响 随着药物浓度升高和时间延长，2种细胞活性均明显下降，2种细胞对PCB的反应稍有不同，BxPC-3、AsPC-1的IC50分别为400.98 μmol/L、256.3 μmol/L。2种细胞IC50值如图1。

2.2 TUNEL法检测PCB对细胞凋亡的影响 BxPC-3、AsPC-1细胞正常对照组、PCB干预BxPC-3、AsPC-1细胞组凋亡率分别为：5.35%±0.92%、17.52%±0.75%、2.44%±0.57%、20.35%±0.78%，干预组与对照组比较，差异有统计学意义(P<0.05, 图2)。

2.3 RT-PCR检测COX-2表达变化 COX-2的表达明显下调，结果见图3, 表1。

3 讨论

PCB是选择性COX-2抑制剂，PCB在癌症领域的研究尚属空白，其大部分的研究都立足于其极强的术后镇痛作用^[10,11]，而COX-2抑制剂CCB早已成为肿瘤界研究的热点。很多学者^[12-21]的研究证明COX-2抑制剂在肿瘤进展过程中发挥重要

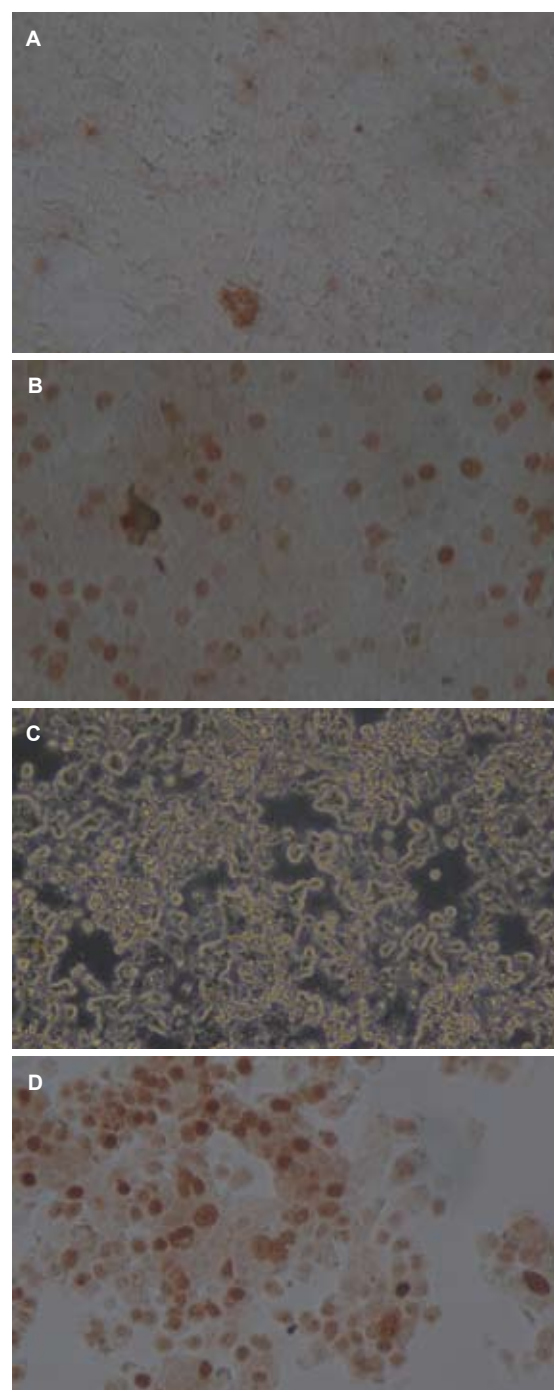


图2 TUNEL法检测帕瑞昔布对细胞凋亡的影响(×200)。
A: BxPC-3细胞对照组；B: BxPC-3细胞帕瑞昔布组；C: AsPC-1细胞正常组；D: AsPC-1细胞帕瑞昔布组。

作用，其具体机制尚未阐明。

胰腺癌发病后病情隐匿，早期诊断极为困难，很多患者晚期时才有明显症状，且很多药物耐药成为胰腺癌治疗的难点^[22]。COX-2抑制剂有望被应用于抗肿瘤药物的范围内。国内学者^[23-28]研究发现，COX-2在胰腺癌中的表达率为74.5%，认为COX-2可能在胰腺癌的发生、发展及肿瘤的浸润和转移中起重要作用，COX-2的高表达可

■创新点
新型COX-2抑制剂
帕瑞昔布在胰腺
癌中的研究并探
讨其可能机制是
本文的一大亮点。

■应用要点

本文研究显示新型COX-2抑制剂可诱导胰腺癌凋亡，抑制其增殖，这为胰腺癌的药物治疗提供新思路及实验基础。

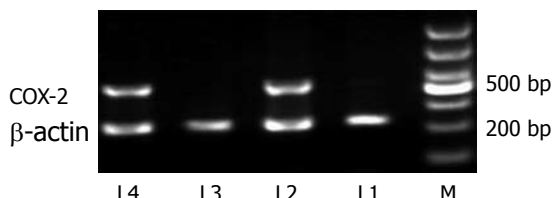


图3 帕瑞昔布对BxPC-3、AsPC-1细胞mRNA表达的影响。M: Maker; L1: BxPC-3 PCB; L2: BxPC-3正常对照组; L3: AsPC-1 PCB; L4: AsPC-1正常对照组。

能是反映胰腺癌预后的有用指标。COX-2在胰腺癌组织中高表达，而在相邻正常组织中不表达，其高表达均与胰腺癌细胞增殖、血管生成、抗凋亡有关。我们曾将CCB与顺铂联合作用于胰腺癌BxPC-3，可明显抑制细胞的增殖，诱导细胞凋亡并增加胰腺癌细胞对化疗药物的敏感性。本研究应用PCB处理胰腺癌细胞，发现其增殖抑制，凋亡增加。

COX-2的过度表达具有以下作用：(1)刺激肿瘤细胞的增殖；(2)抗凋亡；(3)促进肿瘤血管形成；(4)促浸润和转移。因此，COX-2抑制剂是抗胰腺癌很有潜力的药物之一。

本研究中PCB的应用验证了在体外细胞水平上抑制细胞增殖，并诱导细胞凋亡，这种作用的可能机制是抑制了COX-2的表达，从而发挥重要作用。还有很多分子机制是在整个肿瘤发生发展过程中COX-2表达产生了重要影响。故此，对于COX-2抑制剂在肿瘤中的重要作用还有待进一步从体内试验证明。

PCB不仅有强大的镇痛作用，尤其是外科手术后的镇痛，而且为胰腺癌的治疗提供了新希望，本研究为PCB治疗胰腺癌提供理论依据。

4 参考文献

- 1 Jemal A, Siegel R, Xu J, Ward E. Cancer statistics, 2010. *CA Cancer J Clin* 2010; 60: 277-300
- 2 Hidalgo M. Pancreatic cancer. *N Engl J Med* 2010; 362: 1605-1617
- 3 Jemal A, Murray T, Ward E, Samuels A, Tiwari RC, Ghafoor A, Feuer EJ, Thun MJ. Cancer statistics, 2005. *CA Cancer J Clin* 2005; 55: 10-30
- 4 McKenna S, Eatock M. The medical management of pancreatic cancer: a review. *Oncologist* 2003; 8: 149-160
- 5 Molina MA, Sitja-Arnau M, Lemoine MG, Frazier ML, Sinicrope FA. Increased cyclooxygenase-2 expression in human pancreatic carcinomas and cell lines: growth inhibition by nonsteroidal anti-inflammatory drugs. *Cancer Res* 1999; 59: 4356-4362
- 6 Yip-Schneider MT, Barnard DS, Billings SD, Cheng L, Heilman DK, Lin A, Marshall SJ, Crowell PL, Marshall MS, Sweeney CJ. Cyclooxygenase-2 expression in human pancreatic adenocarcinomas. *Carcinogenesis* 2000; 21: 139-146
- 7 Franco L, Doria D, Bertazzoni E, Benini A, Bassi C. Increased expression of inducible nitric oxide synthase and cyclooxygenase-2 in pancreatic cancer. *Prostaglandins Other Lipid Mediat* 2004; 73: 51-58
- 8 Crowell PL, Schmidt CM, Yip-Schneider MT, Savage JJ, Hertzler DA, Cummings WO. Cyclooxygenase-2 expression in hamster and human pancreatic neoplasia. *Neoplasia* 2006; 8: 437-445
- 9 Nasir A, Lopez A, Boulware D, Malafa M, Coppola D. Correlation between COX-2 and APC expression in left versus right-sided human colon cancer. *Anticancer Res* 2011; 31: 2191-2195
- 10 Gehling M, Arndt C, Eberhart LH, Koch T, Krüger T, Wulf H. Postoperative analgesia with parecoxib, acetaminophen, and the combination of both: a randomized, double-blind, placebo-controlled trial in patients undergoing thyroid surgery. *Br J Anaesth* 2010; 104: 761-767
- 11 Kyriakidis AV, Perysinakis I, Alexandris I, Athanasiou K, Papadopoulos Ch, Mpesikos I. Parecoxib sodium in the treatment of postoperative pain after Lichtenstein tension-free mesh inguinal hernia repair. *Hernia* 2011; 15: 59-64
- 12 Gamradt SC, Feeley BT, Liu NQ, Roostaeian J, Lin YQ, Zhu LX, Sharma S, Dubinett SM, Lieberman JR. The effect of cyclooxygenase-2 (COX-2) inhibition on human prostate cancer induced osteoblastic and osteolytic lesions in bone. *Anticancer Res* 2005; 25: 107-115
- 13 Ferrandina G, Lauriola L, Zannoni GF, Fagotti A, Fanfani F, Legge F, Maggiano N, Gessi M, Mancuso S, Ranelletti FO, Scambia G. Increased cyclooxygenase-2 (COX-2) expression is associated with chemotherapy resistance and outcome in ovarian cancer patients. *Ann Oncol* 2002; 13: 1205-1211
- 14 Kim YM, Park SY, Pyo H. Cyclooxygenase-2 (COX-2) negatively regulates expression of epidermal growth factor receptor and causes resistance to gefitinib in COX-2-overexpressing cancer cells. *Mol Cancer Res* 2009; 7: 1367-1377
- 15 Liu Z, Wang X, Lu Y, Han S, Zhang F, Zhai H, Lei T, Liang J, Wang J, Wu K, Fan D. Expression of 15-PGDH is downregulated by COX-2 in gastric cancer. *Carcinogenesis* 2008; 29: 1219-1227
- 16 Talar-Wojnarowska R, Gasiorowska A, Olakowski M, Lampe P, Smolarz B, Romanowicz-Makowska H, Malecka-Panas E. Role of cyclooxygenase-2 gene polymorphisms in pancreatic carcinogenesis. *World J Gastroenterol* 2011; 17: 4113-4117
- 17 Zhao D, Xu D, Zhang X, Wang L, Tan W, Guo Y, Yu D, Li H, Zhao P, Lin D. Interaction of cyclooxygenase-2 variants and smoking in pancreatic cancer: a possible role of nucleophosmin. *Gastroenterology* 2009; 136: 1659-1668
- 18 Zhang XM, Zhong R, Liu L, Wang Y, Yuan JX, Wang P, Sun C, Zhang Z, Song WG, Miao XP. Smoking and COX-2 functional polymorphisms interact to increase the risk of gastric cardia adenocarcinoma in Chinese population. *PLoS One* 2011; 6: e21894
- 19 Bu X, Zhao C, Dai X. Involvement of COX-2/PGE(2) Pathway in the Upregulation of MMP-9 Expression in Pancreatic Cancer. *Gastroenterol Res Pract* 2011; 2011: 214269
- 20 Özhan G, Lochan R, Leathart JB, Charnley R, Daly AK. Cyclooxygenase-2 polymorphisms and pancreatic cancer susceptibility. *Pancreas* 2011; 40: 1289-1294

- 21 Lashinger LM, Malone LM, McArthur MJ, Goldberg JA, Daniels EA, Pavone A, Colby JK, Smith NC, Perkins SN, Fischer SM, Hursting SD. Genetic reduction of insulin-like growth factor-1 mimics the anticancer effects of calorie restriction on cyclooxygenase-2-driven pancreatic neoplasia. *Cancer Prev Res (Phila)* 2011; 4: 1030-1040
- 22 Wang Z, Ahmad A, Li Y, Azmi AS, Miele L, Sarkar FH. Targeting notch to eradicate pancreatic cancer stem cells for cancer therapy. *Anticancer Res* 2011; 31: 1105-1113
- 23 刘伟, 李开宗, 窦科峰. COX-2在胰腺癌组织中的表达及其与p53的相关性研究. 世界华人消化杂志 2003; 11: 229-232
- 24 刘伟, 李开宗, 窦科峰. 环氧化酶-2和血管内皮生长因子在胰腺癌组织中的表达及其相关性研究. 中国普外基础与临床杂志 2003; 10: 539-541
- 25 刘伟, 李开宗, 窦科峰, 马福成, 王映梅. 胰腺癌组织中survivin和COX-2表达的相关性. 第四军医大学学报 2004; 25: 635-636
- 26 刘伟, 李开宗, 窦科峰, 宋振顺, 苏明权, 于文彬. COX-2抑制剂联合顺铂对胰腺癌细胞增生和凋亡的影响. 世界华人消化杂志 2004; 12: 1139-1143
- 27 刘伟, 张永久, 李开宗, 窦科峰, 许永华, 张东, 闫兵. COX-2抑制剂联合survivin反义寡核苷酸抗胰腺癌BxPC-3细胞的效应. 世界华人消化杂志 2007; 15: 3178-3183
- 28 贾福鑫, 刘伟, 张东, 李鹏, 李建英, 冯玉玲, 冯德元. MMP-9和COX-2蛋白的表达对胰腺癌预后的影响. 中华临床医师杂志(电子版) 2011; 5: 1917-1922

■同行评价

本研究立题有一定新意, 实验设计合理, 数据详实准确, 论文逻辑性较强, 研究结果有助于进一步明确胰腺癌细胞增殖及凋亡的调控机制, 具有较好的科学价值.

编辑 曹丽鸥 电编 鲁亚静

ISSN 1009-3079 (print) ISSN 2219-2859 (online) CN 14-1260/R 2012年版权归世界华人消化杂志

• 消息 •

《世界华人消化杂志》正文要求

本刊讯 本刊正文标题层次为 0引言; 1材料和方法, 1.1材料, 1.2方法; 2结果; 3讨论; 4参考文献. 序号一律左顶格写, 后空1格写标题; 2级标题后空1格接正文. 以下逐条陈述: (1)引言 应包括该研究的目的和该研究与其他相关研究的关系. (2)材料和方法 应尽量简短, 但应让其他有经验的研究者能够重复该实验. 对新的方法应该详细描述, 以前发表过的方法引用参考文献即可, 有关文献中或试剂手册中的方法的改进仅描述改进之处即可. (3)结果 实验结果应合理采用图表和文字表示, 在结果中应避免讨论. (4)讨论 要简明, 应集中对所得的结果做出解释而不是重复叙述, 也不应是大量文献的回顾. 图表的数量要精选. 表应有表序和表题, 并有足够具有自明性的信息, 使读者不查阅正文即可理解该表的内容. 表内每一栏均应有表头, 表内非公知通用缩写应在表注中说明, 表格一律使用三线表(不用竖线), 在正文中该出现的地方应注出. 图应有图序、图题和图注, 以使其容易被读者理解, 所有的图应在正文中该出现的地方注出. 同一个主题内容的彩色图、黑白图、线条图, 统一用一个注解分别叙述. 如: 图1 萎缩性胃炎治疗前后病理变化. A: …; B: …; C: …; D: …; E: …; F: …; G: … 曲线图可按●、○、■、□、▲、△顺序使用标准的符号. 统计学显著性用: $^aP<0.05$, $^bP<0.01(P>0.05$ 不注). 如同一表中另有一套 P 值, 则 $^cP<0.05$, $^dP<0.01$; 第3套为 $^eP<0.05$, $^fP<0.01$. P 值后注明何种检验及其具体数字, 如 $P<0.01$, $t=4.56$ vs 对照组等, 注在表的左下方. 表内采用阿拉伯数字, 共同的计量单位符号应注在表的右上方, 表内个位数、小数点、±、-应上下对齐. “空白”表示无此项或未测, “-”代表阴性未发现, 不能用同左、同上等. 表图勿与正文内容重复. 表图的标目尽量用 t/min , $c/(\text{mol/L})$, p/kPa , V/mL , $t/\text{°C}$ 表达. 黑白图请附黑白照片, 并拷入光盘内; 彩色图请提供冲洗的彩色照片, 请不要提供计算机打印的照片. 彩色图片大小 $7.5\text{ cm} \times 4.5\text{ cm}$, 必须使用双面胶条粘贴在正文内, 不能使用浆糊粘贴. (5)志谢 后加冒号, 排在讨论后及参考文献前, 左齐.